

# کاهش اثر بخار آب جو بر روی محصولات تداخل‌سنگی راداری به کمک داده‌های GPS و MERIS-FR (مطالعه موردی: فرونشست دشت مشهد)

سینا ادhem خیابانی<sup>۱\*</sup>، محمدرضا مباشri<sup>۱</sup>، محمدجواد ولدان زوج<sup>۱</sup> و میریم دهقانی<sup>۲</sup>

<sup>۱</sup> دانشکده مهندسی نقشه‌برداری، دانشگاه صنعتی خواجه نصیرالدین طوسی، تهران، ایران

<sup>۲</sup> گروه مهندسی راه و ساختمان و محیط زیست، دانشکده مهندسی دانشگاه شیراز، شیراز، تهران

تاریخ پذیرش: ۱۳۸۹/۰۷/۱۹

تاریخ دریافت: ۱۳۸۸/۰۸/۰۸

## چکیده

تداخل‌سنگی راداری از روش‌های شناخته شده سنجش از دور است که کاربردهای آشکاری در مطالعه جایه‌جایی‌های سطحی زمین دارد. جو، برخلاف دیگر عوامل تأثیرگذار بر روی اندازه‌گیری‌های تداخل‌سنگی راداری، رفتاری غیرقابل پیش‌بینی و نسبتاً پیچیده دارد که بسته به شرایط مختلف زمان‌های تصویربرداری، نتایج را تحت تأثیر قرار می‌دهد. در این تحقیق مدلی با توجه به جنس خطای برای کاهش اثر جو، برای فرونشست زمین در استان خراسان مطالعه شده است. در این مدل، از داده‌های تمام فنکیک (FR) سنجنده MERIS برای برآورد اثر بخار آب و داده‌های سینوپتیک هواشناسی برای کاهش اثر فشار استفاده شده است. همچنین اثر فشارات آب و ابر نیز در این مدل در نظر گرفته شده است. برای تداخل‌نمای مورد استفاده، میزان خطای حاصل از انتشار خطای برای مدل، برابر  $7/6 \text{ میلی متر} / \text{برآورد شده از} 7.57 \times 10^5 \text{ K}^2 \text{ hPa}^{-1}$  میلی متر بود. مقایسه نتایج حاصل از تداخل‌سنگی و داده‌های GPS، تغییر میزان RMSE از مقادیر پیش از تصحیح به حدود ۲ میلی متر پس از تصحیح را نشان داده است.

**کلید واژه‌ها:** سنجش از دور، فرونشست، تداخل‌سنگی راداری، GPS، MERIS

\*نویسنده مسئول: سینا ادhem خیابانی

E-mail: Adham@IEEE.org

## ۱- مقدمه

در این رابطه  $P$  فشار هوای بر حسب  $\text{hPa}$ ،  $e$  فشار جزئی بخار آب بر حسب  $\text{hPa}$ ،  $T$  دمای مطلق بر حسب کلوین،  $W$  میزان آب تبخیر شده موجود در جو بر حسب  $\text{mili}\text{m}\text{tr}$ ،  $n_e$  تعداد الکترون‌های موجود در جو و  $f$  بسامد موج حامل بر حسب هرتز هستند. همچنین  $k_1$ ،  $k_2$  و  $k_3$  مقادیر ثابت تجربی هستند. این مقادیر به ترتیب  $3.75 \times 10^7 \text{ K}^2 \text{ hPa}^{-1}$ ،  $77.6 \text{ K}hPa^{-1}$  و  $23.3 \text{ KhPa}^{-1}$  در نظر گرفته می‌شوند (Smith & Weintraub, 1953). در این رابطه، عبارت اول مبنی تأثیر فشار هوای عبارت دوم نیز حاصل تأثیر رطوبت و به طور کلی بخار آب موجود در جو است و عبارت‌های سوم و چهارم نیز به ترتیب اثر یون‌سپهر (Ionosphere) و قطره‌های آب موجود در جو را شامل می‌شود.

اثر تغییر ضریب شکست در فاز تک تصویر راداری نسبتاً زیاد خواهد بود، اما به طور خلاصه می‌توان گفت که تأثیر جو بر روی تداخل‌نمای بر اثر اختلاف تأثیر ناشی از تغییر پارامترهای تأثیرگذار جو بر فاز سیگنال راداری ایجاد می‌شود (Hanssen, 1998). بدینهی است هر چه شرایط آب و هوایی بین دو زمان تصویربرداری، بیشتر متغیر باشد، اثر جو بر تصاویر بیشتر خواهد شد.

به طور معمول اثر فشار هیدروستاتیکی (هوای خشک) یا به عبارت دیگر اثر فشار هوای بر روی تک تصویر راداری آشکارتر خواهد بود، اما این اثر به دلیل تغییرات محدود فشار هوای در زمان‌های مختلف، در تصاویر تداخل‌سنگی راداری معمولاً کم اهمیت‌تر از دیگر تأثیرات است (Hanssen, 2001). در واقع در تصاویر تداخل‌سنگی راداری، اثر فشار هوای و یون‌سپهر به دلیل تغییرات نسبتاً نرم و بسامد پایین آن به صورت یک خطای همگن نمایان می‌شوند (Zebker et al., 1997). پایین آن به صورت یک نقطه ثابت اندازه‌گیری شده در سطح زمین و یا اندازه‌گیری خطاهای همگن به کمک نقاط ثابت اندازه‌گیری شده در سطح زمین و یا اندازه‌گیری پارامترهای مربوطه در تعداد محدود نقاط در صحنه تصویربرداری و تعمیم آن به کل صحنه (Li et al., 2005) تا حد قابل قبولی قابل حذف هستند. از سوی دیگر، تأثیر بسامد بالاتر مانند اثر موجودی بخار آب و یا اثر ابر باعث ایجاد خطاهای ناهمگنی می‌شوند که به آسانی به روش‌های میانگین‌گیری، قابل حذف نخواهد بود (Li et al., 2005). در فعالیت‌هایی که تاکنون در زمینه اصلاح جوی با توجه به ماهیت خطاهای انجام شده است، خطای جوی ناشی از بخار آب، بیش از

فاز تداخل‌سنگی راداری موجود در یک تداخل‌نمای، دارای مؤلفه‌های مختلفی به شرح زیر است:

۱- اختلاف ارتفاع بین سطح مبنای و سطح زمین یا به عبارتی توپوگرافی، ۲- تغییرات سه بعدی سطحی زمین بین دو تاریخ تصویربرداری یا اثر جایه‌جایی، ۳- تغییر هندسه تصویربرداری یا اثر خط مبنای، ۴- تغییر ضریب شکست مسیر بین دو لحظه تصویربرداری یا اثر جو، ۵- نوفه (نویز)

مطالعه جایه‌جایی سطوح، یکی از مهم‌ترین کاربردهای تصاویر تداخل‌سنگی راداری است. در این گونه مطالعات تمام سیگنال‌های موجود در تصویر به جز آنها بیکاری که حاصل از جایه‌جایی هستند به عنوان اثر مزاحم شناخته شده و نیازمند اصلاح هستند. معمولاً اثرات ناشی از توپوگرافی و نوفه و خط مبنای در هنگام برداش تصاویر به کمک داده‌های کمکی مانند مدل‌های رقومی ارتفاعی زمین و روش‌های شناخته شده تا حد مطلوبی کاهش می‌یابند. اما اثر جو برخلاف دیگر موارد به دلیل تغییرپذیری میزان و الگوی اثر و همچنین برخی دشواری‌های موجود نیازمند توجه جداگانه‌ای خواهد بود (Zebker et al., 1997).

برای تعیین اثر جو بر سیگنال راداری، ابتدا مسیر انتشار موج راداری در خلا در نظر گرفته می‌شود (Zebker et al., 1997). در این حالت، ضریب شکست محیط برابر یک در نظر گرفته شده و فاز موج راداری از رابطه (۱) محاسبه می‌شود.

$$(1) \phi = \frac{2\pi}{\lambda} x + \frac{2\pi}{\lambda} \Delta x$$

در این رابطه  $\lambda$  طول موج و  $x$  فاصله طی شده توسط سیگنال راداری است.

حال اگر مسیر انتشار جو زمین در نظر گرفته شود، رابطه (۲) معرف فاز سیگنال راداری خواهد بود. در این رابطه ضریب شکست محیط به صورت  $(x)N^{1+10^{-6}}$  بوده که  $(x)N$  ضریب شکست اضافی حاصل از وجود ذرات و گازهای مختلف در جو است.

$$(2) \phi = \frac{2\pi}{\lambda} x + \frac{2\pi}{\lambda} \Delta x$$

در اینجا  $(x)N^{10^{-6}} = \Delta x$  نمایانگر اختلاف فاصله اضافی ناشی از شکست موج در جو است (Smith & Weintraub, 1953). ضریب شکست جو را به صورت رابطه (۳) تعریف کردند.

$$(3) N = k_1 \frac{P}{T} + \left( k_2' \frac{e}{T} + k_3 \frac{e}{T^2} \right) - 4.028 \times 10^7 \frac{n_e}{f^2} + 1.45w$$

## ۲-۳. تصاویر MERIS

سنجدنه MERIS بر روی ماهواره ENVISAT قرار دارد که ۱۵ باند طیفی در محدوده مرئی و فروسرخ نزدیک دارد (Kramer, 2002). قدرت تفکیک مکانی این سنجدنه در مدت تمام تفکیک برابر ۳۰۰ متر و برای مدل RR (Reduced Resolution) حدود ۱۲۰۰ متر است. تصاویر تمام تفکیک معمولاً برای کاربردهای زمینی و تصاویر RR برای کاربردهای اقیانوسی پیشنهاد شده‌اند (ESA, 2006).

مأموریت اصلی این سنجدنه مطالعات اقیانوسی است (Kramer, 2002). اما این سنجدنه با توجه به طراحی طیفی انجام شده، کاربرد گسترده‌ای در مطالعات جوی دارد. از آنجا که این سنجدنه با سنجدنه راداری ASAR که بر روی همین ماهواره قرار گرفته است، در یک زمان از یک مکان تصویربرداری می‌کند و با توجه به تغییرات زمانی جوی، این سنجدنه در تصحیح تصاویر ASAR کاربرد فراوانی دارد. از باندهای ۱۴ و ۱۵ این سنجدنه برای استخراج بخار آب استفاده می‌شود (Albert, 2004). مشخصات این باندها در جدول ۱ نمایش داده شده است. شکل ۳ نشان‌دهنده موقعیت و پهنه‌ای باندهای بیان شده در نمودار گذردگی جوی در محدوده فروسرخ نزدیک است.

در مرکز گسیل و توزیع داده‌های تصاویر MERIS، یک محصول بخار آب آماده شده از همین تصاویر وجود دارد. عدم قطعیت بخار آب تخمینی MERIS در مدت تمام تفکیک برابر ۱۰ درصد میزان بخار آب برآورد شده است (ESA, 2006).

## ۴- کاهش اثر جو

در این مرحله مدل کاهش اثر جو بر اساس سه اثر مهم تربوبوسفری (بخار آب، ابر و فشار سطح) تهیه و با توجه به ماهیت خطاها به تصاویر تداخل‌سنگی راداری اعمال می‌شود. لازم به یادآوری است که مدل تصحیح خطای جوی در این پژوهش، توسعه زبان برنامه‌نویسی C#NET ایجاد شده است. همچنین اثر خط مبنا و اثر یون‌سپهر بدون توجه به ماهیت خط و با روش ریاضی کاهش خواهد یافت.

## ۴-۱. مدل کاهش اثر بخار آب

مدل‌سازی اثر بخار آب به کمک تصاویر MERIS-FR انجام می‌شود. البته محصول بخار آب حاصل از این تصاویر، در مناطق ابری اعتبار ندارد (ESA, 2006). این امر به دلیل پراکنش غیر انتخابی ابر در باندهای جذبی بخار آب است (مبایری، ۱۳۸۵). در این تصاویر مقادیر بخار آب در مناطق ابری معمولاً نزدیک به صفر برآورده شده است. در این بخش، ابتدا به معرفی سنجدنه MERIS پرداخته خواهد شد. سپس برآورد تصحیح مناطق ابری در تصاویر MERIS مورد بحث قرار خواهد گرفت. در مرحله بعد نیز استخراج میزان خطای ناشی از بخار آب بر روی تصاویر تداخل‌سنگی راداری محاسبه خواهد شد.

**- تصحیح ابر محصول بخار آب تصاویر MERIS:** با توجه به این موضوع که در مناطق ابری هوا از بخار آب اشباع است، میزان بخار آب نقاط ابری با کمک مناطق اطراف ابر محاسبه شد. البته با توجه به اینکه این فرض برای ابرهای گستره و ابرهای کومه‌ای نسبتاً وسیع با خطای محسوسی همراه خواهد بود، تلاش شد تا این نقاط شناسایی و کنار گذاشته شود. البته با مطالعه نقشه‌های ابر استخراج شده از تصاویر، مشخص شد که در تصاویر حاضر چیزی ابرهایی وجود نداشتند.

برای استخراج میزان بخار آب از روش همسایگی وزن‌دار استفاده شد. (Li et al., 2005) در این روش یک پنجه ۱۵ پیرامون پیکسل ابری در نظر گرفته می‌شود و مقدار ابری بودن مرکز پنجه با کمک میانگین وزن‌دار پیکسل‌های بدون ابر موجود در همسایگی درون یابی می‌شود. وزن مقادیر مختلف موجود در همسایگی در این روش، با معکوس فاصله آن سلول، با سلول، مرکزی تعیین می‌شود.

**- تهیه نقشه تقاضلی خط:** برای تهیه نقشه تقاضلی خط لازم است میزان خطای زنیتی در هر دو تاریخ به دست آید و سپس در جهت تناقض تداخل‌زنگاشت از هم کم شود. برای تبدیل میزان بخار آب موجود در جو به خطای زنیتی از رابطه (۵) استفاده

دیگر موارد، مورد توجه واقع شده است (Li et al., 2005) با استفاده از تصاویر MODIS (MOderate Resolution Imaging Spectroradiometer) خطای ناشی از بخار آب را در شرایط بدون ابر از روی تصاویر تداخل‌سنگی راداری کاهش دادند. آنچه در این مقاله بیش از پیش مورد توجه قرار گرفته است، توجه به همه عوامل خطاساز در منطقه نیمه کوهستانی منطقه خراسان رضوی برای رسیدن به دقت اندازه‌گیری بهتر و بازرسازی الگوی فرونشست زمین است.

در این مقاله، هدف ارائه مدلی برای کاهش اثر جو بر تصاویر تداخل‌سنگی راداری به منظور بهبود نتایج مطالعات فرونشست و بازرسازی سیگنال‌های فرونشست از نظر شکلی است. در این راستا و در بخش ۲، منطقه مورد مطالعه معرفی خواهد شد. داده‌های مورد استفاده در بخش ۳ معرفی می‌شوند. آنگاه مدل ارائه شده برای کاهش اثر بخار آب به کمک تصاویر نوری و مشخصاً تصاویر سنجدنه MERIS (MERIS Resolution Imaging Spectrometer) به همراه مدل کاهش اثر ایستابی معرفی خواهد شد. همچنین روش‌های به کار رفته برای کاهش دیگر آثار نیز بیان خواهد شد. در نهایت ارزیابی جامعی از مدل ارائه شده و نتایج حاصل از فرایند اصلاح جوی آورده خواهد شد.

## ۲- منطقه مورد مطالعه

منطقه مورد مطالعه، بخشی از استان خراسان رضوی و در حوالی شهر مشهد است. مطالعات زمین‌شناسی و تداخل‌سنگی راداری در این محدوده، حاکمی از فرونشستی قابل توجه در منطقه طوس بوده است (جمور و همکاران، ۱۳۸۴؛ Dehghani et al., 2009; Motagh et al., 2006) این فرونشست در گزارش مطالعات GPS (Global Positioning System) نیز آورده شده است.

## ۳- داده‌های مورد استفاده

### ۳-۱. تصاویر تداخل‌سنگی

تصاویر تداخل‌سنگی با توجه به توانایی به تصویر کشیدن و فرامم کردن داده‌های پیوسته در یک بازه مکانی نسبتاً وسیع، این‌بار مناسب برای مطالعات جابه‌جاوی زمین (از نظر الگوی تغییرات و میزان آن) هستند (Zebker et al., 1997). تداخل‌نمایه انتخاب شده در این تحقیق به وسیله تصاویر سنجدنه Advanced Synthetic (ASAR) از ماهواره Aperture Radar (RADAR) و با استفاده از روش تداخل‌سنگی Differential InSAR (DInSAR) تهیه شده‌اند. تصاویر مورد استفاده در این بخش در باند C و تحت قطبش (VV) از مسیر ۳۹۲ برداشت شده‌اند. در این تداخل‌نما، تصویر اولیه (Master) مربوط به دوازده ماه سپتامبر ۲۰۰۵ میلادی و تصویر ثانویه (Slave) مربوط به هفدهم ماه اکتبر سال ۲۰۰۵ میلادی بود. برای اندازه‌گیری میزان فرونشست و همچنین استخراج شکل و الگوی فرونشست نیاز است تا خطاهای مختلف و آثار غیرهدف (توبوگرافی و جو و ...) حذف شوند. در این راستا، در هنگام تشکیل تصویر، نویفه به کمک فیلتر تطبیقی (Goldstein & Werner, 1998) و اثر توبوگرافی به کمک مدل رقومی ارتفاعی (Shuttle Radar Topography Mission SRTM) تشکیل شده به کمک داده‌های SRTM کاهش داده شدند. بیشینه مقدار فرونشست در این منطقه ۲۴ سانتی‌متر در سال است. نتایج حاصل از تداخل‌سنگی راداری با داده‌های GPS و ترازیابی ارزیابی شد (Dehghani et al., 2009).

تداخل‌نمای پردازش شده تا این مرحله در شکل ۲ به نمایش در آمد است.

از میان سه اثر باقی مانده، اثر جابه‌جاوی به عنوان سیگنال مد نظر بوده و اثر خط مبنا نیز به علت رفتار نسبتاً مشابه با برخی پارامترهای جوی (Hanssen, 2001)، به همراه اثر جو برای کاهش مورد مطالعه واقع می‌شود.

شود، می‌توان تأخیر سیگنال را با دقت ۱ میلی‌متر و یا بهتر برآورد کرد (Hanssen, 2001). نکته حائز اهمیت در اینجا این است که باید تعداد نقاطی که فشار سطحی آنها به روش فشارستنجی (بارومتری) و در زمان تصویربرداری به دست آمداده‌اند، در حدی باشد که بتوان تأخیر را در کل صحنه تصویربرداری به دست آورد (Zebker et al., 1997). همچنین می‌توان فشار را برای تعداد محدود نقاط از داده‌های سینوپتیک استخراج کرد و با استفاده از روش‌های درون‌بایان یا استفاده از نقشه سطح هم فشار، نقشه پهنه‌بندهای فشار را به دست آورد. روش دیگر به دست آوردن نقشه پهنه‌بندهای فشار نیز محاسبه گرادیان افقی فشار در دو زمان تصویربرداری است. برای مدل‌سازی اثر فشار از داده‌های سینوپتیک استفاده شد. فشار سطح برای تاریخ‌های ۱۲ سپتامبر و ۱۷ اکتبر نیز برابر  $899.7 \pm 0.71$  میلی بار بود. سرعت باد نیز در ساعات تصویربرداری بسیار ناچیز بوده است به گونه‌ای که در گزارش هواشناسی صفر منظور شده است. می‌توان نتیجه گرفت که گرادیان افقی فشار در دو تاریخ کم و با هم برابر خواهد بود (ماشیری، ۱۳۸۵). از این رو با توجه به رابطه (۸) میزان خطای فشار برای هر دو تاریخ محاسبه شد و نقشه تفاضلی خطای تهیه شد.

### ۴.۳-۴ مدل کاهش اثر قطرو

برای مناطق ابری، میزان بخار آب برآورد شده است. اما لازم است تا تصحیح اضافه قطروهای آب نیز برای این مناطق انجام شود. میزان آب ابرهای موجود و همچنین ضخامت هندسی ابرها عواملی هستند که برای تعیین خطای قطروهای آب مورد نیاز هستند. از آنجا که ارتفاع ابرهای، ضخامت هندسی در راستای دید سنجنده و همچنین چگالی بخش‌های مختلف ابرها بسیار متغیر است، در نظر گرفتن چنین پارامتری دشوار است (Paperin, 2007). همچنین از آنجا که بیشتر مطالعات ابرها در راستای زیستی هستند، اعمال چنین تصحیحی در راستای سنجنده باید بسیار دقیق انجام شود. داده‌های MERIS، اطلاعات بسیار خوبی در مورد نوع و ارتفاع لایه بالایی ابرها می‌دهد. می‌توان از این اطلاعات، به همراه داده‌های زمینی ضخامت هندسی ابرها، برای تصحیح جوی تصاویر، استفاده کرد.

با توجه به جدول ۲ می‌توان مقدار خطای زیستی قطروهای آب را بر حسب میلی‌متر برآورد کرد. حاصل ضرب این مقدار در ضخامت هندسی ابر منجر به خطای کل می‌شود. میزان خطای زیستی ناشی از ابرهای موجود در این مرحله با توجه به نقشه‌های نوع ابر MERIS برآورد شد. با توجه به نوع ابرهای مشخص شده در نقشه‌ها، در این مرحله و با توجه به این که دید زمینی به مناطق با ابرهای رقيق وجود داشت، از ضخامت اپتیکی به جای ضخامت هندسی کمک گرفته شد. این پارامتر از تصاویر MERIS استخراج شدند. در انتهای این مرحله نیز میزان خطای زیستی ناشی از اثرات دیگر هم که پیش از این محاسبه شده بود به این تصویر اضافه شد تا میزان خطای زیستی ناشی از پارامترهای تروپوسفری برآورد شود.

### ۴.۴-۴ اعمال مدل بر روی تداخل‌نما

اعمال مدل خطای زیستی کل را بر روی تداخل‌نما با تفیری مدل معادل فاز خطای زیستی کل انجام می‌پذیرد. رابطه (۹) نشان‌دهنده ارتباط بین خطای زیستی و اختلاف فاز معادل آن بر روی تصاویر تداخل‌سننجی راداری است (Zebker et al., 1997).

$$\Delta\phi = \frac{4\pi}{\lambda} \frac{\Delta x}{\cos\theta_i} \quad (9)$$

در این رابطه  $\Delta x$  خطای زیستی کل،  $\theta_i$  زاویه فرود و  $\lambda$  طول اندازه‌گیری راداری است. با توجه به رابطه (۹) و عملیاتی که تا این مرحله انجام شده است، شکل ۴ به عنوان تصویر اختلاف فاز معادل خطای خطا به دست آمده است. اکنون لازم است تصویر مذکور از تداخل‌نما کم شود. برای این منظور، تداخل‌نما، پیکسل به پیکسل پیموده شد و خطای جوی هر پیکسل از تصویر خطای استخراج گردید.

پس از اعمال این مدل بر روی تصویر تداخل‌سننجی راداری، لازم است خطاهای خطی مانند خطاهای یون‌سپهر و همچنین خطاهای خط مبنای مورد توجه قرار گیرند. برای این امر کافی است دست کم سه نقطه ثابت اندازه‌گیری شده در خارج از منطقه فرونشست انتخاب

$$\begin{aligned} \text{می‌شود (Hanssen, 2001). رابطه (۵) بر اساس رابطه تأثیر بخار آب قابل بارش بر} \\ \text{تأثیر زیستی رابطه (۴) به دست آمده است.} \\ (4) \end{aligned}$$

$$\left\{ \begin{aligned} \delta_{z,t,p,v} &= 10^{-6} R_v \left( k'_2 + \frac{k_3}{T_m} \right) \rho_i \frac{1}{\rho_i} \int \rho_i dh \\ PWV &= \frac{1}{\rho_i} \int \rho_i dh \end{aligned} \right.$$

در واقع رابطه (۴)، شکل جدیدی از جمله اثر بخار آب در رابطه (۳) است. در این رابطه برای تفکیک بخار آب قابل بارش (PWV=Perceptible Water Vapor)، چگالی آب مایع  $\rho_1$  در صورت و مخرج کسر ضرب شده است. در این رابطه ضرایب  $k'_2$  و  $k_3$  مقادیر ثابت تجربی هستند. این مقادیر به ترتیب  $23.3 \text{ K} \text{ hPa}^{-1}$  و  $3.75 \times 10^5 \text{ K}^2 \text{ hPa}^{-1}$  در نظر گرفته می‌شوند (Hanssen, 2001). همچنین ضرایب ثابت جهانی گازها برای بخار آب  $R_v = 461.524 \text{ JK}^{-1} \text{ Kg}^{-1}$  و  $T_m = 461.524 \text{ JK}^{-1} \text{ Kg}^{-1}$  میانگین دمای مقطع دارای بخار آب هستند. افزون بر این  $\delta$  خطای زیستی رنج بر حسب متر، چگالی آب مایع بر حسب  $\frac{g}{m^3} = 10^6 \rho_1$  و  $\rho_1$  چگالی بخار آب است. در این رابطه بخش غیر متعلق به بخار آب قابل بارش،  $\Pi^{-1}$  نامیده شده است.

$$(5) \quad \delta_{z,t,p,v} = \Pi^{-1} PWV$$

در رابطه (۵)، پارامتر مبدل بخار آب به تأخیر زیستی به دمای متوسط ستون جو بستگی دارد. این پارامتر برای دو تاریخ تصویربرداری به کمک داده‌های سینوپتیکی اخذ شده از سازمان هواشناسی کشور در نقطه مشهد (تقریباً در مرکز تصاویر بوده است) و جدول استاندارد هواشناسی به دست آمد. این مقدار برای تاریخ‌های ۱۲ سپتامبر و ۱۷ اکتبر به ترتیب  $6/1$  و  $6/17$  در نظر گرفته شد.

پس از تبدیل بخار آب به خطای زیستی لازم بود تا نقشه تفاضلی خطای بخار آب به دست آید. این عملیات به کمک تفاضل پیکسل‌های متناظر انجام پذیرفت.

### ۴.۵ مدل کاهش اثر فشار

برای به دست آوردن خطای ناشی از تغییر فشار بین دو زمان تصویربرداری، نیاز است تا نیمرخ تغییر فشار ستون جوی در هر دو تاریخ به دست آید که چنین چیزی برای تمام نقاط دو تصویر بسیار دشوار است. (Saastamoinen, 1972) رابطه‌ای جایگزین برای نیمرخ جوی پیشنهاد کرد که با استفاده از مقادیر سطحی فشار، میزان تأخیر زیستی از این پارامتر را تقریب می‌زند. براساس مدل (Saastamoinen, 1972) فشار سطح از رابطه (۶) به دست می‌آید.

$$(6) \quad P_s = g_m \int_0^{\infty} \rho(z) dz$$

در این رابطه  $g_m$  شتاب گرانش محلی در مرکز ستون جو است که به کمک رابطه (7) قابل محاسبه است (Hanssen, 2001).

$$(7) \quad g_m = 9.784(1 - 0.0026 \cos 2\Phi - 0.00028 Z_0)$$

در این رابطه  $Z_0$  ارتفاع سطح و  $\Phi$  عرض جغرافیایی هستند. با استفاده از این رابطه و رابطه (۶)، تأخیر ناشی از فشار هوا بر تک سیگنال راداری از رابطه (8) قابل محاسبه خواهد بود (Hanssen, 2001).

$$(8) \quad ZHD = 10^{-6} k_1 \frac{R_d}{g_m} P_s$$

در این رابطه ZHD تأخیر زیستی ناشی از فشار ایستابی و  $P_s$  فشار سطح است. همچنین در این رابطه  $k_1$  مقدار تجربی است و برابر  $77.6 \text{ K} \text{ hPa}^{-1}$  در نظر گرفته شده است. همچنین  $R_d$  ثابت جهانی گازها برای هوای خشک است که برابر با  $287.053 \text{ JK}^{-1} \text{ Kg}^{-1}$  در نظر گرفته شده است.

رابطه (8) نشان می‌دهد که در شرایط عادی و در زمانی که فشار در حدود ۱۰۰۰ میلی بار است، فشار هوا تا  $2/3$  متر بر روی سیگنال راداری، تأخیر ایجاد می‌کند. اما نکته قابل توجه این است که فشار هوا در یک نقطه از یک منطقه مشخص بیش از چند میلی بار در شرایط آب و هوایی متفاوت تغییر نمی‌کند. این مسئله باعث می‌شود که فرم تفاضلی در این رابطه، به عدد بسیار کوچک‌تری نسبت به  $2/3$  متر (حدود ۲ میلی متر در هر میلی بار اختلاف فشار) منتج گردد. از سوی دیگر، تغییر فشار هوا نسبت به محتویات بخار آب از تغییرات نرم تری برخوردار است.

استفاده از این رابطه، نشان داد که اگر فشار سطحی با دقت ۰.۴ hPa محاسبه

بین دو تاریخ برداشت تداخل سنجی به کمک نقاط GPS برآورد شد. در مرحله بعدی نقاط GPS بر روی تداخل نما مشخص شدند. سپس مقادیر جایه جایی‌ها در این نقاط، از تداخل نهایی پیش و پس از تصحیح جوی استخراج شدند. نتایج مقایسه تغییرات در جدول ۳ ارائه شده است. با توجه به نتایج به دست آمده میزان ۹/۳ میلی‌متر پیش از تصحیح به میزان ۲/۱ میلی‌متر پس از تصحیح بهبود یافته است.

خطای RMSE در این اندازه گیری‌ها از رابطه (۱۲) به دست آمده است.

$$RMSE = \sqrt{\frac{\sum_{i=1}^n (x_i - y_i)^2}{N}} \quad (12)$$

در رابطه (۱۲)،  $N$  تعداد نمونه‌ها و  $x_i$  و  $y_i$  به ترتیب داده‌های تداخل سنجی و GPS در نقاط کنترل هستند.

همان گونه که دیده می‌شود نتایج اندازه گیری‌های تداخل سنجی در راستای خط دید را در پس از تصحیح جوی در محدوده دقت خود با نقاط GPS انطباق دارند. همچنین نمودار همبستگی داده‌های تداخل سنجی و GPS پیش و پس از تصحیح جوی در شکل ۶ نشان‌دهنده افزایش میزان همبستگی این داده‌ها پس از تصحیح است. در این شکل نقاط سبز مربوط به پس از تصحیح و نقاط قرمز مربوط به قبل از تصحیح هستند. خط موجود در شکل نیز همبستگی کامل را نشان می‌دهند.

## ۶- نتیجه‌گیری

در این تحقیق هدف ارائه روشنی جهت تصحیح جوی تصاویر تداخل سنجی راداری به دست آمده از تصاویر سنجنده ASAR، بر روی ماهواره ENVISAT بود. تصاویر تداخل سنجی با فاصله زمانی ۳۵ روز برداشت شده‌اند. تصحیح جوی افزون بر افزایش دقت اندازه گیری امکان محاسبات پیوسته جایه جایی، امکان استخراج الگوی فرونشست را فراهم می‌سازد. در این راستا با توجه به رفتار جو و اثر آن بر فاز امواج راداری مدلی بر اساس تصاویر سنجنده MERIS (در مدت تمام تفکیک) و داده‌های هواشناسی طراحی شد. از تصاویر MERIS به دلیل برداشت همزمان با تصاویر ASAR (به دلیل هم سکو بودن) و همچنین ارائه داده‌های همزمان ابر و فشار و بخار آب، استفاده شده است. شباهت کلی تصویر تداخلی خطوط و تصویر تداخل سنجی حاکی از آن است که در منطقه موردنظر، جو در تخریب شکل فرونشست و همچنین گزارش فرونشست‌ها و بالا آمدگی‌های غیر واقعی اثرگذار بوده است. در این بخش پس از مرحله تصحیح جوی، به کمک داده‌های GPS برداشت شده در منطقه، اعتبار سنجی نتایج انجام شد. با توجه به خطای ۷/۶ میلی‌متری موجود در مدل تصحیح جوی و نبود قطعیت ۷ میلی‌متری در داده‌های GPS، میزان خطای کمترین مربعات ۲/۱ میلی‌متری در انطباق داده‌های GPS، تداخل سنجی قابل قبول خواهد بود.

نتایج برای منطقه نیمه کوهستانی و در شرایط بند وجود ابرهای کوههای گسترد، به دست آمده است. در برخی از مناطق کشور وجود ابرهای کوههای عمیق در برخی مناطق تصویربرداری شده، اثری مخرب و قابل ملاحظه‌ای بر برداشت‌های تداخل سنجی ایجاد می‌کند. بنابراین مطالعه و استخراج پارامترهای ابر می‌تواند در تصحیح جوی این مناطق نقش عمده‌ای داشته باشد.

## سپاسگزاری

برخود لازم می‌دانیم از سازمان زمین‌شناسی و اکتشافات معدنی کشور، برای فراهم کردن داده‌های موردنیاز و همکاری بخش دورسنجی در پژوهش داده‌های راداری تقدیر کنیم. همچنین از سازمان هواشناسی کشور برای تأمین داده‌های هواشناسی سپاسگزاریم. از سازمان نوشته‌برداری کشور که در تأمین داده‌های GPS نویسنده‌گان را یاری نمودند، قدردانی می‌شود. همچنین از دکتر پاپک منصوری، مهندس افسین نوابی و مهندس مسعود خوش‌سیما که از نظرات و کمک‌های ارزشمندشان بهره بردیم، کمال تشکر را داریم.

شود و صفحه‌ای به این نقاط برآذش داده شود. تصویر تداخل نما بر روی این صفحه، نتیجه نهایی عملیات تصحیح است که در شکل ۵ نشان داده شده است. لازم به توضیح است که شکل ۵ نمایش دهنده تصویر نهایی اصلاح شده برای فاصله زمانی ۳۵ روزه است.

## ۵- ارزیابی نتایج

ارزیابی نتایج در این مرحله بر اساس دو معیار کیفی و کمی انجام می‌گیرد. در ارزیابی کیفی مدل، تحلیل پدیده‌ها پیش و پس از مرحله اصلاح بررسی می‌شوند و در مرحله ارزیابی کمی، نتایج به دست آمده از اندازه گیری‌های عددی موردنظر قرار می‌گیرند. با توجه به گزارش‌های متعدد زمین‌شناسی (Poland, 1984) و مطالعات GPS مربوط به همین منطقه میزان جایه جایی موجود در منطقه فرونشست در راستای افقی کمتر از دقت داده‌های تداخل سنجی بوده و قابل صرف نظر است. بنابراین تمام جایه جایی‌های نمایش داده شده در منطقه موردنظر در راستای ارتفاعی در نظر گرفته می‌شود. همان گونه که در شکل ۲ مشاهده می‌شود، ناحیه مشخص شده با عدد ۱، منطقه اصلی فرونشست است که در شکل ۵ نیز به روشنی دیده می‌شود. در شکل ۲ در ناحیه ۲ بالا آمدگی و در ناحیه ۳ فرونشستی دیده می‌شود که در واقع حاصل جو هستند. این سیگال‌ها به روشنی در شکل ۳ که تصویر خطای جوی هستند، دیده می‌شوند. در حالی که در تصویر خطای جوی هستند، دیده نمی‌شوند. در ناحیه ۴ از شکل ۲ نیز پدیده بدن تغییر دیده می‌شود که با مقایسه شکل ۴ و ۵ دیده می‌شود که این اثر بالا آمدگی نزدیک به صفر بوده که به علت وجود خطای جوی در شکل تصویر نشده و بی‌تغییر باقی مانده است. همان گونه که دیده می‌شود، سیگال‌های غیرواقعی بسیار زیادی در تصویر تصحیح نشده، وجود دارد که درستی تشخیص پدیده‌ها را با مشکل رو به رو می‌کند.

در این بخش ارزیابی کمی نتایج، با آزمون درستی عددی تصویر نهایی انجام می‌پذیرد. در واقع در این مرحله با کمک نقاط ثابت GPS موجود در منطقه (واقع در داخل و خارج از منطقه فرونشست) درستی نتایج و همچنین میزان بهبودی مدل، ارزیابی شده است. اما برای انجام مرحله ارزیابی عددی مدل، در ابتدا میزان عدم قطعیت داده‌های تداخل سنجی استخراج شدن و در نهایت میزان انطباق دو نوع داده GPS و تداخل سنجی (پیش و پس از مرحله تصحیح) محاسبه شد.

برای به دست آوردن عدم قطعیت در نتایج تصحیح شده تداخل سنجی، از روش انتشار خطاهای استفاده شد (Vanicek & Krakiwsky, 1986). میزان عدم قطعیت وارد شده بر اندازه گیری جایه جایی تداخل سنجی در فرایند اصلاح جوی از رابطه (۱۰) به دست آمده است (Li et al., 2006).

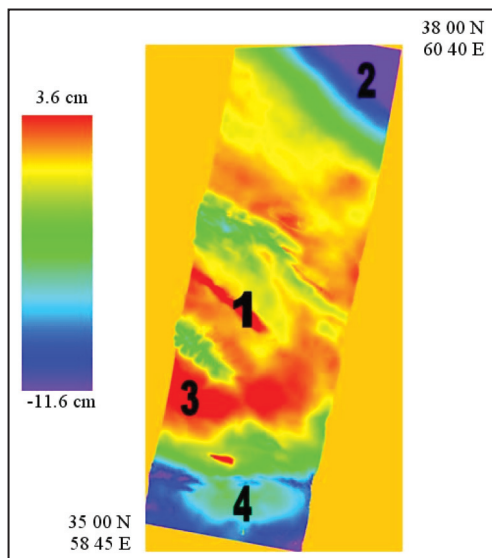
$$\sigma_{\Delta\rho} = \sqrt{\frac{\sigma_{ZTD1}^2 + \sigma_{ZTD2}^2}{\cos \theta}} \quad (10)$$

در این رابطه  $ZTD$ <sup>۲</sup> خطای زینتی تأخیر تropospheric برای هر کدام از دو تصویر و  $\theta$  زاویه دید سنجنده هستند.

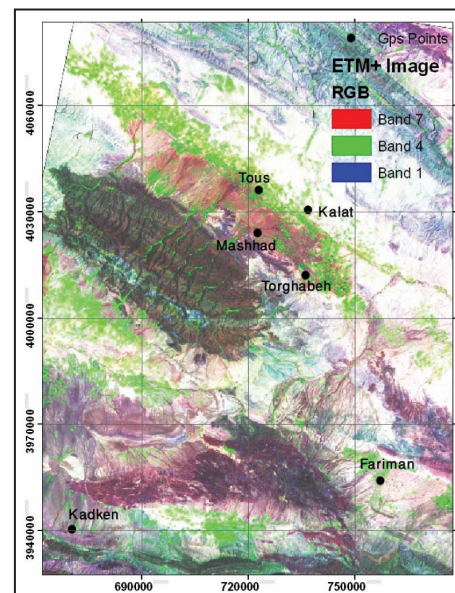
برای به دست آوردن میزان عدم قطعیت در محاسبات حاضر مقدار زاویه فرود، برابر مقدار میانگین آن برای تصاویر حاضر در مدل Fine یعنی ۱۸ درجه در نظر گرفته می‌شود (میزان خطاهای وارد شده بر کل صحنه در بیشترین میزان اختلاف زاویه از مقدار میانگین کمتر از ۰/۱ میلی‌متر است که از دقت اندازه گیری جایه جایی به مراتب کمتر است). همچنین برای (Zenith Tropospheric Delay) ZTD عدم قطعیت بخار آب براساس بخار آب بخش متاظر تداخل نما بر روی تصاویر MERIS محاسبه شده است. بنابراین خطای ZTD از رابطه (۱۱) و به کمک خطای خشک و تر قابل محاسبه خواهد بود.

$$\sigma_{ZTD}^2 = \sigma_{ZWD}^2 + \sigma_{ZHD}^2 \quad (11)$$

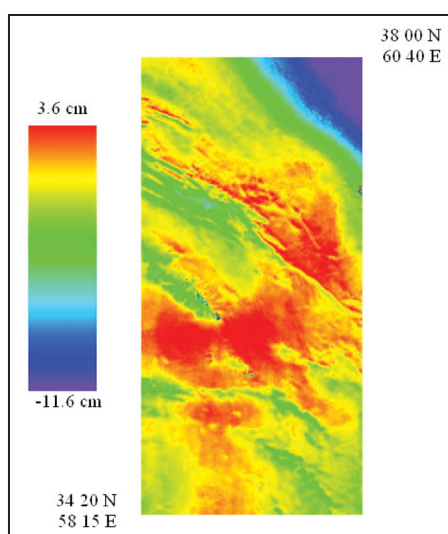
با صرف نظر از خطاهای جمله مبدل بخار آب ( $\sigma_{\Pi}$ <sup>۲</sup>)، میزان عدم قطعیت وارد در مرحله اصلاح جوی حدود ۷/۵ میلی‌متر برای هر یک از نقاط آزمون برآورد شد. این مقدار با توجه به میزان عدم قطعیت ۱۰ درصدی بخار آب تصاویر MERIS به دست آمده است. پس از تعیین میزان عدم قطعیت تصاویر، در این مرحله میزان تغییرات ارتفاعی



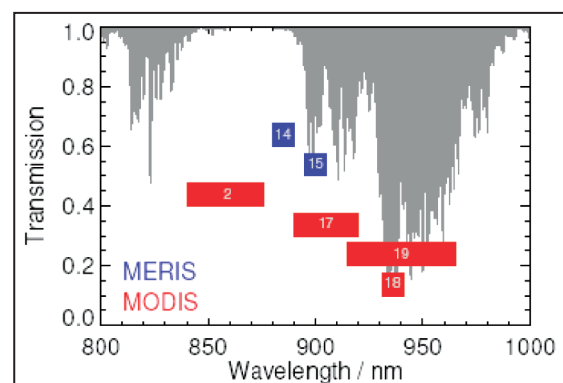
شکل ۲- تداخل نمای تشکیل شده برای مطالعه جایه جایی (حاوی اثر جو)



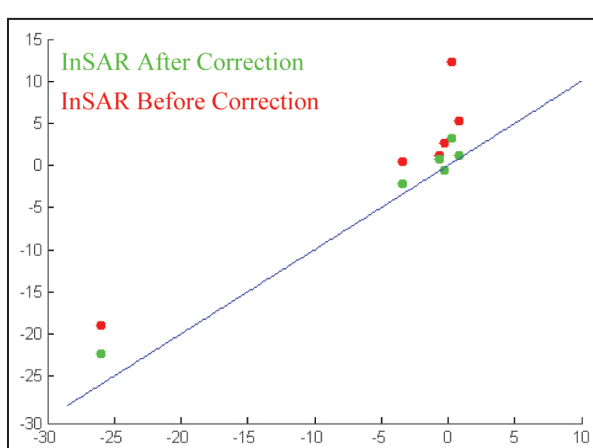
شکل ۱- ترکیب رنگی تهیه شده از تصویر ETM+ منطقه مورد مطالعه به همراه موقعیت نقاط GPS در داخل و خارج منطقه فرونشست که با دایره سیاه رنگ نشان داده شده است. نقاط GPS عبارتند از: طوس، کلات، مشهد، طرقبه، فریمان و کدکن.



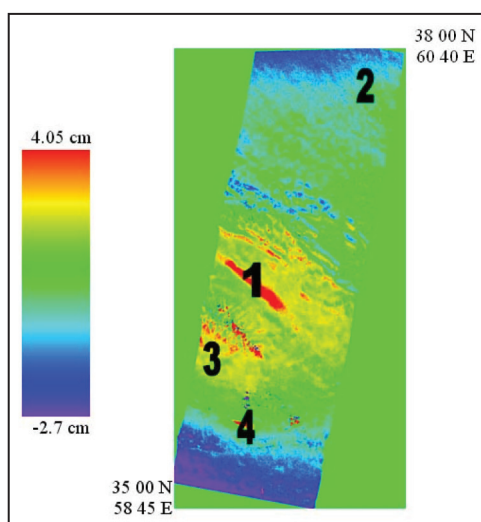
شکل ۴- تصویر خطای محاسبه شده



شکل ۳- موقعیت باندهای جذبی و گسیلی MERIS و MODIS (برگرفته از Albert, 2004)



شکل ۶- نمودار همبستگی نقاط GPS و تداخل سنجی



شکل ۵- تصویر تصویر صحیح شده

جدول ۱- باندهای مورد استفاده در استخراج بخار آب از تصاویر ماهواره‌ای MERIS و MODIS

SNR	نوع باند	پهنای باند (nm)	مرکز باند (nm)	شماره باند	نام سنجنده
۳۰۰	عبوری	۱۰	۸۸۵	۱۴	MERIS
۳۰۰	جدبی	۱۰	۹۰۰	۱۵	MERIS

جدول ۲- نتایج تصحیح به کمک داده های تمام تفکیک

اندازه اختلاف پس از تصحیح (میلی متر)	InSAR (mm) (After Correction)	InSAR (mm) (Before Correction)	GPS (mm)	نقطه
+۰/۳	-۰/۶	۲/۷	-۰/۳	کلات
۱/۴	+۰/۸	۱/۲	-۰/۶	طرقبه
۱/۲	-۲/۲	-۰/۵	-۳/۴	مشهد
+۰/۴	۱/۲	۵/۳	+۰/۸	فریمان
۲/۹	۳/۲	۱۲/۳	+۰/۳	کدکن
۳/۷	-۲۲/۳	-۱۹	-۲۶	طوس

جدول ۲- میزان خطای ناشی از ذرات آب موجود در ابر (Hanssen, 2001)

نوع ابر	آب مایع موجود (g/m³)	تأخير طولی (mm/km)
ابرهای استراتیفرم	+۰/۰۵ - +۰/۲۵	+۰/۱ - +۰/۴
ابرهای کومولوس کوچک	+۰/۵	+۰/۷
ابرهای کومولوس و کومولونیموس	+۰/۵ - ۲	+۰/۷ - ۳/۱
ابرهای یخی	+۰/۱>	+۰/۱>

## کتابنگاری

جمور، ی. موسوی، ز.، نانکلی، ح.، رحیمی، ز.، عربی، س.، طالبی، ع.، ۱۳۸۴- گزارشی از نقشه غیر عادی در منطقه شمال مشهد مقدس، نشریه علمی- فنی نقشه برداری، شمال ۷۴، ۷۴.

مبشری، م.ر.، ۱۳۸۵- مبانی فیزیک در سنجش از دور و فناوری ماهواره ای، انتشارات دانشگاه صنعتی خواجه نصیرالدین طوسی.

## References

- Albert, P., 2004- Remote sensing of atmospheric water vapour for numerical weather prediction. Ph.D. Thesis of Ferei University of Berlin.
- Dehghani, M., Valadan Zouj, M., J., Biggs, J., Mansourian, A., Parsons, B. & Wright, T., 2009- RADAR Interferometry Time Series Analysis of Mashhad Subsidence, Journal of International Society of Remote Sensing (ISRS).
- European Space Agency, 2006- MERIS Handbook, Oct.
- Goldstein, R. M. & Werner, C. L., 1998- Radar interferogram filtering for geophysical applications. Geophysical Research Letters, Vol. 25, No. 21, pp. 4035 – 8.,
- Hanssen, R. F., 2001- Radar Interferometry: Data interpretation and Error Analysis. Kluwer Academic Publishers, Dordrecht.
- Hanssen, R. F., 1998- Atmospheric Heterogeneities in ERS Tandem SAR Interferometry, 136 pp., Delft Univ. Press, Delft, Netherlands.
- Kramer, H. J., 2002- Observation of the earth and its environment, Springer.
- Li, Z., Muller J.-P., Cross, P. and Fielding , E. J., 2005- Interferometric synthetic aperture radar (InSAR) atmospheric correction: GPS, Moderate Resolution Imaging Spectroradiometer (MODIS), and InSAR integration, J. Geophys. Res., 110, B03410, doi:10.1029/2004JB003446.
- Li, Z., Muller, J.- P., Cross, P., Albert, P., Fischer, J. & Bennartz, R., 2006- Assessment of the potential of MERIS near-infrared water vapour products to correct ASAR interferometric measurements. International Journal of Remote Sensing Vol. 27, No. 2, P. 349–365.
- Motagh, M., Djamour, Y., Walter, T. R., Wetzel, H., Zschau, J. and Arabi, S., 2006- Land subsidence in Mashhad Valley, northeast Iran: Results from InSAR, Leveling and GPS, Geophysical Journal International, No. 168.
- Paperin, M., 2007- Introduction to Clouds' structures. Ph.D. Thesis of Hamburg University..  
(Could be accessed in [www.brockmann-consult.de/CloudStructures/introduction.htm](http://www.brockmann-consult.de/CloudStructures/introduction.htm))
- Poland, J. F., 1984- Guidebook to studies of land subsidence due to groundwater withdrawal, Unesco.
- Smith, E. K. & Weintraub, S., 1953- The constants in the equation for atmospheric refractive index at radio frequencies, Proc. IRE, 41,1035- 1037.
- Saastamoinen, J., 1972- Atmospheric correction for troposphere and stratosphere in radio ranging of satellites, in The Use of artificial satellites for Geodesy, Geophys. Monogr. Ser., vol.15, edited by S.W. Henrikson, A Mancini, and B.H. Chovitz, pp. 247-252, AGU, Washington, D. C.
- Vanicek, P. & Krakiwsky, E., 1986- Geodesy the Concepts., Elsevier science Publishers in Netherlands.
- Zebker, H. A., Rosen, P. A. and Hensley, S., 1997- Atmospheric Effects in Interferometric Synthetic Aperture Radar Surface Deformation and Topographic Maps, J. Geophys. Res., 102(B4), p.7547-7563.

# Reducing Atmospheric Water Vapor Effects on the Interferogrammetric SAR Products using MERIS-FR and GPS (Case Study: Mashhad Subsidence)

S. Adham Khiabani<sup>1\*</sup>, M. R. Mobasher<sup>1</sup>, M. J. Valadanzoj<sup>1</sup> & M. Dehghani<sup>2</sup>

<sup>1</sup>Faculty of Geodesy and Geomatics Engineering, K. N. Toosi University of Technology, Tehran, Iran

<sup>2</sup>Dept. of Civil and Environmental Engineering, School of Engineering, Shiraz University, Shiraz, Iran

Received: 2009 October 11 Accepted: 2010 October 30

## Abstract

SAR interferometry has shown its abilities in measuring the surface deformation in various applications. Atmospheric signals as an important factor affecting the interferometric measurements have temporally uncorrelated and complicated behavior. In this paper, a model based on the error source is presented to reduce the atmospheric contributions on the interferometric measurements in Mashhad subsidence area. In this model, the Full-Resolution (RF) MODIS data and meteorological information were used in order to estimate the water vapor and reduce the pressure effect, respectively. Moreover, water drops as well as the clouds effects were considered in the proposed model. Utilizing error propagation, model error was estimated as 7.2 mm. The Root Mean Square Error (RMSE) as a quantitative comparison between GPS measurements and interferometric results showed an improvement from 9 mm (before atmospheric correction) to 2 mm after applying the correction model.

**Keywords:** Remote sensing, SAR interferometry, MERIS, GPS.

For Persian Version see pages 123 to 128

\*Corresponding author: S. Adham Khiabani; E-mail:Adham@IEEE.org

# The Determining of the Nature of Magmatic Encalves in Granites of Malayer Plutonic Complex based on Geochemical and Statistical Methods

R. Deevsalar<sup>1\*</sup>, M. V. Valizadeh<sup>2</sup> & V. Ahadnejad<sup>3</sup>

<sup>1</sup> Faculty of Basic Sciences, Department of Geology, Tarbiat Modares University, Tehran, Iran

<sup>2</sup> College of Science, Faculty of Geology, University of Tehran, Tehran, Iran

<sup>3</sup> Payame Noor University, Tehran, Iran

Received: 2009 September 08 Accepted: 2010 October 30

## Abstract

Granitic rocks of Malayer plutonic complex contain varieties of enclaves with different shapes, sizes, mineralogy and chemical composition. The interpretation of bivariant geochemical diagrams of major oxides and trace elements with respect to higher values of some of oxides such as MnO, TiO<sub>2</sub>, MgO, CaO & FeO, than host rocks in one groups of enclaves and moreover linear trend of these oxides and some of trace elements such as Ni, Cr, V indicate to different nature and mafic source of these enclaves (Mafic type) than host rocks and other enclaves (Felsic type). The study of chemical composition of this enclaves by using of univariant and bivariant statistical methods (bivariant regression analysis, correlation coefficients, cluster analysis and principle component analysis) indicate clear chemical contrast between mafic enclaves with felsic enclaves and granitic host rocks and in other side chemical affinity of felsic enclaves and their host rocks. Distinctive distribution of the majority of oxides and trace elements of mafic enclaves and host rocks and low values for R<sup>2</sup> in regression analysis, low value of correlation coefficient of major element oxides and trace elements between enclaves and their host rocks, separate position of samples in cluster pattern and special direction of variants and samples of vectors in bivariant diagram of principle component analysis (PCA) are outputs of different geochemical characteristics of enclaves and host rocks. Moreover this correlates with different trends of each major oxides and trace elements in bivariant geochemical diagram (Harker diagram).

**Keywords:** Enclave, Host Rock, Mineralogy, Geochemistry, Correlation Coefficient, Statistical Methods

For Persian Version see pages 129 to 140

\*Corresponding author: R. Deevsalar; E-mail: Reza\_dsalar@yahoo.com